

平板在流体作用下的振动*

郑 哲 敏

(中国科学院力学研究所)

本文討論平板在流体中的一个振动問題：我們假設平板在 x 方向是無限長的 (見圖 1)，而且在等間隔上裝有簡支鉸座，因而在這些簡支綫上平板的位移等于零。在板和與其平行的牆之間，有一不可壓縮和無粘性的水流，它在 x 方向的流速是 U 。

这样一个由板和流体構成的振动体系具有一些特殊的振动特性。我們在本文討論这个体系的自由振动問題。除了給出它的自由振动形式和相应的頻率外，并將分析在不同流速下振动的稳定性。

板的运动方程式可以写作

$$B \frac{d^4 w}{dx^4} - \rho h \omega^2 w = P, \quad (1)$$

其中 $w e^{i\omega t}$ 是板的撓度， t 为時間， ω 是尚待决定的自由振动圓周頻率， B 是板的每單位寬度的抗弯剛度， h 是板的厚度， ρ 是密度。

$P e^{i\omega t}$ 表示作用在板上的正压力。 $P e^{i\omega t}$ 中除了包含水压力 $P e^{i\omega t}$ 之外，还包含支点的作用力。这些作用力应当認为是綫載荷。

当振动發生后，流体中的速度場發生改变。在微小振动的假定下，这些改变可以視作小量。因此，如果令 $\varphi e^{i\omega t}$ 表示扰动位势函数， φ 由下式給出

$$\frac{p}{\gamma} = -i\omega\varphi - U \frac{\partial \varphi}{\partial x}, \quad (y=0), \quad (2)$$

γ 是流体的密度。 φ 滿足拉氏方程式

$$\frac{\partial^2 \varphi}{\partial x^2} + \frac{\partial^2 \varphi}{\partial y^2} = 0, \quad (3)$$

而且在 $y=0$ 和 $y=-h$ 处分別滿足以下的边界条件，

$$\frac{\partial \varphi}{\partial y} \Big|_{y=0} = i\omega w + U \frac{\partial w}{\partial x}, \quad (4)$$

$$\frac{\partial \varphi}{\partial y} \Big|_{y=-h} = 0. \quad (5)$$

我們可以假定 w 和 φ 是 x 的周期函数其周期为 $2Nl$ (N = 任意正整数)，而無損于解的一般性。由是，我們可以用富氏級数將 w ， φ 和 P 表示如下：

*本文是 1956 年 9 月在第九届国际应用力学會議上所提出报告的一部分，原题为“流体彈性力学”。

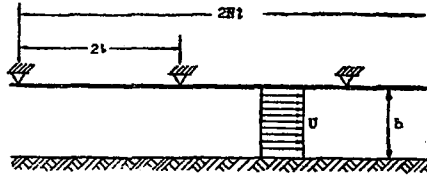


圖 1.

$$w = \sum_{n=-\infty}^{\infty} A_n e^{i \frac{n\pi x}{Nl}} \quad (6)$$

$$\varphi = \sum_{n=-\infty}^{\infty} B_n(y) e^{i \frac{n\pi x}{Nl}}, \quad (7)$$

$$\begin{aligned} P &= p + \sum_{k=0}^{N-1} R_k \delta(x - 2kl), \quad 0 \leq x < 2Nl; \\ &= p + \sum_{k=0}^{N-1} \sum_{n=-\infty}^{\infty} \frac{R_k}{2Nl} e^{-i \frac{2nk\pi}{N} + i \frac{n\pi x}{Nl}}, \quad -\infty < x < \infty. \end{aligned} \quad (8)$$

上式中 $R_k (k=0, \dots, N-1)$ 代表支座加于板的线载荷, 它们也是 x 的周期函数. δ 是狄拉克函数.

w 的表示式必须在支座上满足挠度恒等于零的条件. 因此我们有

$$\sum_{n=-\infty}^{\infty} A_n e^{i \frac{2ns\pi}{N}} = 0, \quad s=0, 1, \dots, N-1. \quad (9)$$

其次, 因为流体假定为不可压缩的, 在任意 N 个跨度内板与墙之间的体积必须保持不变. 因此我们取

$$A_0 = 0. \quad (10)$$

本问题的求解过程在于系数 A_n , R_k 和圆周频率 ω 的决定. 首先, 根据方程式 (3) 和边界条件 (4) 和 (5), φ 可以用 A_n 表示. 将 φ 代入 (2), 我们得到 p 的表示式如下:

$$\frac{p}{\gamma} = \sum_{n=-\infty}^{\infty} \left(\omega + U \frac{n\pi}{Nl} \right)^2 \frac{Nl}{n\pi} A_n e^{i \frac{n\pi x}{Nl}} \coth \frac{n\pi h}{Nl}. \quad (11)$$

再将上式代入 (8) 式, 并将 P 代入 (1) 式. 比较富氏级数的诸项系数即得 A_n 与 R_k 的关系如下:

$$A_n = F_n \sum_{k=0}^{N-1} \frac{R_k}{2Nl} e^{-i \frac{2k\pi n}{N}}, \quad (12)$$

其中

$$F_n = F_n(\omega) = \left\{ B \left(\frac{n}{N} \right) \frac{\pi^4}{l^4} - \rho h \omega^2 - \frac{\gamma l}{\pi \left(\frac{n}{N} \right)} \left[\omega + \frac{\pi U}{l} \frac{n}{N} \right]^2 \coth \left(\frac{\pi h}{l} \frac{n}{N} \right) \right\}^{-1}, \quad (13)$$

如将 (12) 式代入挠度在支座上等于零的条件 (公式 9), 便得到决定 R_k 的齐次线性联立方程式. 这组联立方程式的行列式等于零的条件便是决定 ω 的频率方程式.

我们用下述线性转换以简化以上的联立方程: 令

$$n = Nq + s, \quad s=0, 1, \dots, N-1, \quad q = \dots -1, 0, +1, \dots. \quad (14)$$

于是 (12) 式可以写作

$$A_{Nq+s} = T_s \frac{F_{q+\frac{s}{N}}}{N}, \quad (15)$$

其中

$$T_s = \sum_{k=0}^{N-1} \frac{R_k}{2Nl} e^{-i \frac{2ks\pi}{N}}. \quad (16)$$

用同样替换, (9) 式变为

$$\sum_{s=0}^{N-1} e^{i \frac{2sq\pi}{N}} \sum_{q=-\infty}^{\infty} A_{Nq+s} = 0.$$

上式的唯一解是

$$\sum_{q=-\infty}^{\infty} A_{Nq+s} = 0.$$

將表示式(16)代入上式即得

$$T_{\frac{s}{N}} \sum_{q=-\infty}^{\infty} F_{q+\frac{s}{N}} = 0, \quad s=0, 1, \dots, N-1. \quad (17)$$

这便是經過綫性轉換(16)之后的联立方程組。事实上通过这样的轉換,它們已經成为互不相关的正則形式了。它們的解或者是 $T_{\frac{s}{N}} = 0, s=0, 1, \dots, N-1$; 或者是

$$\left. \begin{aligned} \sum_{q=-\infty}^{\infty} F_{q+\frac{s}{N}} &= 0, \\ T_{\frac{s}{N}} &\neq 0; \end{aligned} \right\} \quad (18. a)$$

$$T_{\frac{s'}{N}} = 0, \quad s' \neq s. \quad (18. b)$$

在第二种情况下, (18. a)便是頻率方程。如果 ω 是(18. a)的一个根, 与其相应的 w 便是

$$w = T_{\frac{s}{N}} e^{i \frac{s\pi x}{Nl}} \sum_{q=-\infty}^{\infty} F_{q+\frac{s}{N}} e^{i \frac{q\pi x}{l}}. \quad (19)$$

从(16)式又得到

$$R_k = 2l T_{\frac{s}{N}} e^{i \frac{2ks\pi}{N}}. \quad (20)$$

在第一种情况下, 通常 $w = 0$ 。这也就是說沒有振动。但也有例外的情况。后者可以作为(18)的一个 $T_{\frac{s}{N}} \rightarrow 0$ 的特殊情况, 因而無需分別討論。

現在就以下几方面討論所得的解:

(一) 观察公式(13)和(18. a)可見, 在一般情況下, 而且对一定的 $\frac{s}{N}$ 而言, 如果 ω 是一个根, $-\omega$ 便不是根。但是 $-\omega$ 却是另一个, 以 $1 - \frac{s}{N}$ 代替了 $\frac{s}{N}$ 之后的頻率方程式的根。这是因为

$$\sum_{q=-\infty}^{\infty} F_{q+(1-\frac{s}{N})}(-\omega) = \sum_{q=-\infty}^{\infty} F_{-q-(1-\frac{s}{N})}(-\omega) = \sum_{q=-\infty}^{\infty} F_{q+\frac{s}{N}}(\omega) = 0. \quad (21)$$

因此, 为了求得所有的頻率值, 我們仅需令 $\frac{s}{N}$ 为 0 与 $\frac{1}{2}$ 之間之任一分数。

(二) 板的撓度是 $w e^{i\omega t}$ 。由于(18)式所給出的 w 通常是 x 的复函数, 撓度不能表示为 $e^{i\omega t} f(x)$, 其中 $f(x)$ 为实函数。因此, 沿 x 方向板上各点的运动, 虽然具有共同的周期, 却有着不同的相差。例外的情形分別發生于 $U=0$ 和 $\omega=0$ 。

(三) 就一定的 $\frac{s}{N}$ 值, (18. a)有無穷多个分离的根。当 $\frac{s}{N}$ 取 0 与 $\frac{1}{2}$ 之間之任意值时, 所有的根便分別坐落在通常是互相分离的間隔里。在这些間隔里根的分佈是密集的, 这一点最容易用沒有流体的情况($\gamma=0$)說明。

当 $\gamma=0$ (18. a)式变为

$$\sum_{q=-\infty}^{\infty} \frac{1}{\left(q + \frac{s}{N}\right)^4 - \Omega^2} = 0,$$

其中, $\Omega^2 = \rho h \omega^2 l^4 / B \pi^4$. 借余数法, 上式可以写作

$$\cos \frac{2\pi s}{N} = \frac{\sin h 2\pi \sqrt{\Omega} \cos 2\pi \sqrt{\Omega} - \cos h 2\pi \sqrt{\Omega} \sin 2\pi \sqrt{\Omega}}{\sin h 2\pi \sqrt{\Omega} - \sin 2\pi \sqrt{\Omega}}. \quad (22)$$

当 Ω 较大时, 可以渐近地将上式写作

$$\cos \frac{2\pi s}{N} = \sqrt{2} \cos 2\pi \left(\sqrt{\Omega} + \frac{1}{8} \right). \quad (23)$$

作为上式的一个根, Ω 显然只能存在于某些特定的互不相連的間隔內, 而且在这些間隔中根的分布是密集的. 当 $\frac{k}{N} = \frac{1}{2}$, 0.10 , 和 $\frac{k}{N} \rightarrow 0$ 时, 最小的根是 $\Omega = \frac{1}{4}$, 0.519 , 和 0.568 .

(四) 由于流体的單向流动, 同一波長的正弦列波有不同的順流和逆流前进的速度. 因此当流速 $U \neq 0$ 时, 两个同样波長的正弦列波不能形成固定的結点, 更不能满足在支撑

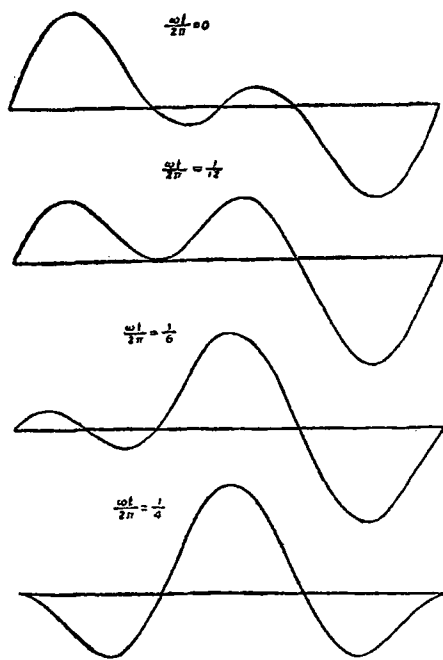


图 2.

点上板的撓度等于零的条件. 但在某些特定的流速, 不同波長, 但是波長成簡單倍数的正弦列波却可以在簡支的位置上形成結点. 这时显然 $R_k = 0$ 而且板上各点作不同相角的簡諧振动.

作为上述情况的一个例子, 我們可以有这样的—个解

$$w e^{i\omega t} = e^{i\omega t - i \frac{\pi s}{N}} (1 - e^{\frac{\pi s}{N}}). \quad (24)$$

它满足支撑点位置等于零的要求. 根据(18)式我們要求 ω 满足下列方程式

$$1/F_{-\frac{1}{3}} = -1/F_{\frac{2}{3}} = 0.$$

这样的联立方程同时决定了 ω 和 U 的值. 因此, 我們說, 只有在特定的流速下, 像(24)式那样的簡單解方才成立. 在一般情况下, 解必然包含(19)式中所有各項. 圖 2 表示在 $\frac{1}{4}$ 周期間板的振动, 所根据的公式是(24)式.

(五) 流体的存在即使在流速等于零的情况下, 对頻率, 尤其是較低的頻率, 有显著的影响.

取 $\gamma l / \rho h = 90$, $H/l = 0.40$. 这时, 相应于 $\frac{s}{N} = \frac{1}{2}$, 0.10 和 $\frac{s}{N} \rightarrow 0$ 的最低頻率值各为 $\Omega = 0.0245$, 0.0187 , 和 0 . 最低的頻率值趋近于零, 当 $\frac{s}{N} \rightarrow 0$, 是由于 $\coth \frac{\pi h}{l} \frac{s}{N} \rightarrow \infty$ 的结果, 因而与流体密度的数值無关.

当 $U = 0$ 时, 板上各个的运动便沒有相角差.

(六)当流速增加时, ω 的值随之改变. 仍取 $\gamma l / \rho h = 90, H/l = 0.40, \frac{s}{N} = 0.5$ 及 0.10 , 我們計算了 Ω 与 U 之間的函数关系如图 3 所示.

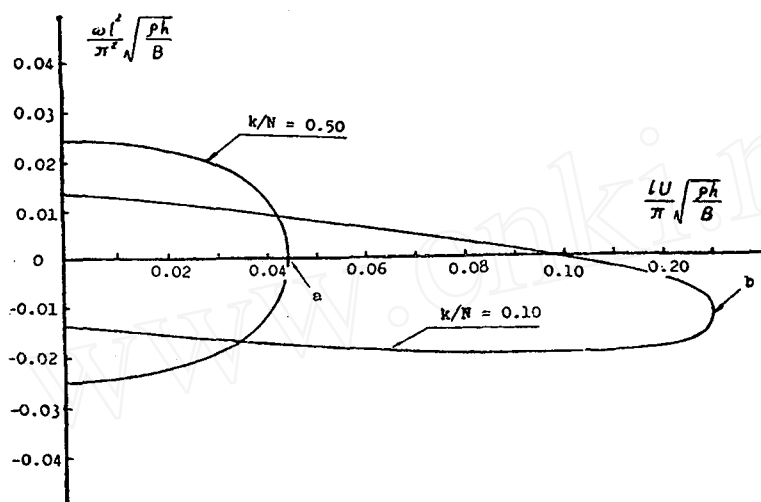


图 3.

特别有兴趣的是图 3 中的 a 点和 b 点. 在这些点上, 代表频率的曲线有垂直的切线. 在 a, b 点的左边, (18.a) 式的最小根是实数, 在 a, b 点的右边, 根便分别是虚数或复数. 由于 $\pm\omega$ 都是频率方程的根 (虽然一般说来, 相应于不同的 $\frac{s}{N}$ 值) 当 ω 为虚数或复数时, 相应的振动便不是稳定的了. 可以证明, 当流速不大于 a 点所表示的速度时, 没有不稳定的振动. 因此, a 点的流速可以称为临界流速. 临界流速的一般公式是,

$$U^2 = \frac{1}{\gamma} B \left(\frac{\pi}{2l} \right)^3 \tanh \frac{\pi H}{2l}. \quad (25)$$

这个公式是由 $\omega = 0$ 和 $1/F_{\frac{1}{2}} = 0$ 得出的.